

土的冻胀对建筑物基础的作用

Б. И. 达尔馬托夫 著

建筑工程出版社

前　　言

本書是在作者科学指导下，多年来进行的實驗室及野外實驗研究成果的簡述；同时也是在上述研究的基础上，由作者所完成的理論概述，它被用来研究基础隆脹穩定的計算方法。

在實驗研究中列寧格勒建筑工程学院土工實驗室、苏联科学院伊加爾卡冰冻科学研究所（ИНИМС）、苏联商路总局阿尔齐克設計院北方勘測設計队（СПИЭ）¹、契列波維茨冶金工厂（ЧМЗ）及列寧格勒工业建築設計院的工作人員进行了創造性的协作。作者对于他們全体致以衷心的謝意。

作者也对 B·A·奧勃魯契夫冰冻科学研究院的工作人員致以深切的謝意；特別是对于苏联科学院通訊院士 H·A·崔托維奇在研究过程中所作的批評性意見及建議致以深切的謝意。

作　　者

目 录

前 言	
第一 节 緒 論	1
第二 节 土的冻结	4
第三 节 連成一片的活動層中冻结深度的預測	8
第四 节 所得关系与觀察結果的比較	11
第五 节 土冻脹的觀察結果	13
第六 节 关于水份轉移条件的几点意見	15
第七 节 冻脹有效区域厚度估計条件的探討	19
第八 节 土与基础材料冻结阻力的研究	26
第九 节 多年冻土条件下隆脹力的研究	29
第十 节 在土的季节冻结条件下冻脹切力的研究	36
第十一节 基础的隆脹計算	45
第十二节 計算数值的結果与試驗資料的比較	48
第十三节 增加基础对隆脹稳定性的措施	51
第十四节 結 論	55

第一节 緒論

建筑工作者早已知道：由于基础下土的冻结而引起土的冻胀，会因冻胀力而使这些基础抬高。因为这种力量相当大，所以在冻胀土中基础底面通常比冰冻深度为低。但是在許多情况下，这种做法并不能避免土冻胀对于基础的影响。

冻结时土通常与基础体一起冻结。冻胀多半要伴随着冰冻区内土体积的增大，此时增加的压力可以分解为两个方向：与基础侧面垂直的及切向的。在基础周围土冻胀均匀发展的情况下，压力的垂直分量在每一水平面上导致砌体受压。

向上的压力切向分量（切向冻胀力）合成一个隆起的力量。假如这个沿基础侧面的力超过了传递给地基的荷载数值，那末基础将同上部结构一起依冻胀的加剧而向上移动。

在不均匀的升高时，轻型建筑物和低层房屋显著变形。这样，甚至当基础深度低于冻结深度时，都使其正常使用发生困难。这种变形是建筑者很熟悉的。

为了说明起见，在图1、2及3中引用了木桥，不采暖仓库及上水道检查井的变形情况。

切向冻胀力引起的建筑物变形，首先在强烈季节冻结区及多

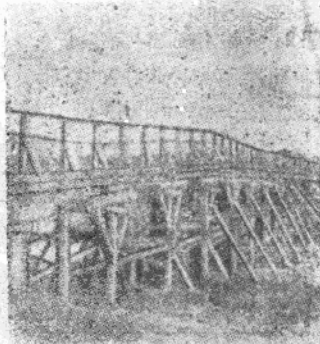


圖1 在多年凍土情況下由於
凍脹力作用的樁橋變形

年冻土区（永冻土）❶見到。

考慮到苏联北部和东部地区建筑工程量的不断增长，必須研究出在冻胀性土上建造建筑物的一些方法，以便在最少的投资下保证其强度、稳定及耐久性。

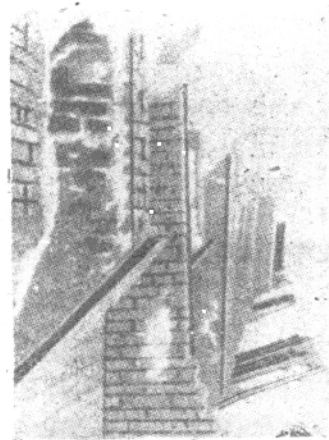


圖2 列寧格勒省某不采暖仓库
內牆的傾斜（防火牆突出部分
保持垂直位置）

最近建筑工作者解决的这个问题，多半是仅应用于多年冻土分佈区域的結構物的建筑。在这种情况下，基础的稳定是由于基础嵌固于土的冻结层中而保证的，或者是采取能减少切向冻胀力的特殊方法。

在季节冻结区域，直到最近切向冻胀力的影响通常是不考虑的。因此輕型建筑物常常遭受变形，不仅使其使用条件变坏，有时还导致破坏。由于这种情况就出现了各种减少切向冻胀力的建議（采用不冻的回填料、涂料及其他措施）。

近30年来許多学者——H. A·崔托維奇 (Цытович)、H. И·薩爾蒂科夫 (Салтыков)、M. H·戈尔德什騰 (Гольдштейн) 及 П·Е·阿帕克 (Апак) 作了很多工作来研究計算基础隆脹的方法。M·H·戈尔德什騰 [1]批判地研究了前人研究出来的方法之后，采用了H·A·崔托維奇的計算方案。

❶ 通常将那些在数百年或数千年的长时期中，在自然埋藏条件下处于冻结状态的土，称为多年冻土。此处应說明，多年冻土层是某些区域性条件：气候、地形、地下水与地面水、植物及其他自然因素长期作用的结果。

在进行了廣泛研究的基础上，他建議应根据土与基础材料冻结的持久强度值来决定冻胀力，他认为必須將此持久强度減少一半，因为土不断地滑过基础的侧面。按此法計算时，隆胀力值要比实际作用的力大得多。因此，M. H. 戈尔德什騰补充建議：应当考虑好象是在土的冻结层与基础間形成的裂縫。

如我們的研究所表明：上述裂縫在土的冻结过程中实际上是不会形成的。所以按M. H. 戈尔德什騰建議的計算方法，使隆胀力得到較高的數值。

由于用現存的計算方法求隆胀力的結果不能令人滿意，就有必要为此而采用近似計算法。就这样，H. A. 崔托維奇[2]建議以很大的近似性来求隆胀力，其出发点是：土与基础間的相互作用力等于土与基础材料的临时冻结强度的 5 %。按照規范隆胀力可近似地取为 100~250 公斤/每公分基础周長。

显然，这类粗糙的計算方法根本不可能可靠地反映出当土在冻胀时基础侧面实际作用的力。

为了正确求得作用于基础的隆胀力的大小，以及适合于采取那些措施来減少这种力量，就必须知道这些力的发展規律。因此六年来在秋冬时期进行了一些綜合的實驗研究，以了解土在冻结过程中的冻胀性質，切向冻胀力沿基础侧面的分佈，这种力与溫度，含水量及土性質的关系，以及減少隆胀力的可能性等。

这些廣泛的研究不可能在本書极其有限的篇幅中加以闡述，

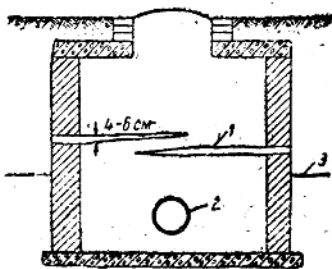


圖 3 契列波維茨上水道檢查井
中的水平裂縫：

1—裂縫；2—管道；3—凍結面

所以下面只引述一些最具有代表性的，主要是在野外进行的实验结果。此外，书中还简短地阐述了一些理论研究，作为我们所建议的基础膨胀计算方法的依据。

最后引述已由野外试验所证实的增强基础对膨胀的稳定性的建议。

第二节 土的冻结

由于冻土的力学性质特征依其温度而定，所以切向膨胀力的增长在很大的程度上取决于土的冻结过程和基础附近的温度场。

在伊加尔卡冰冻科学研究所和契列波维茨冶金工厂的场地上研究了实验基础附近冻结深度范围内的温度场。观测时采用了大量的多点温差电偶和电阻温度计，它们是利用放置在实验基础上的测力器电磁线圈而成。

按照这些观测的结果作出了一些图表（图4），表明冻土温度与所观测层的深度成直线关系。从所得到的资料得出，已冻土在深度 z 处的温度可以表达如下：

$$\theta_z = \theta \left(1 - \frac{z}{h} \right) + \theta_{\text{sum}} \quad (1)$$

式中 θ_z —— 深度 z 处土的温度；

θ —— 土表面温度与其冻结温度之差；

θ_{sum} —— 土的冻结温度；

h —— 冻结深度。

土在冻结层范围内的温度按直线分布，这与通常计算冻结深度时所采用的假设相一致[3]。

观测不同深度上土的温度，就能定出土中 0° 等温线随时间的位移。值得提出的是伊加尔卡冰冻科学研究所场地上轻亚粘土

及中亞粘土和契列波茨冶金工厂厂区亞粘土的冻结深度实际上与 0° 等温线的位置相重合。显然，这种重合可以用土的含水量和结构性的提高来解释；这是土在自然条件下经过多次冻结和融化之后得到的。

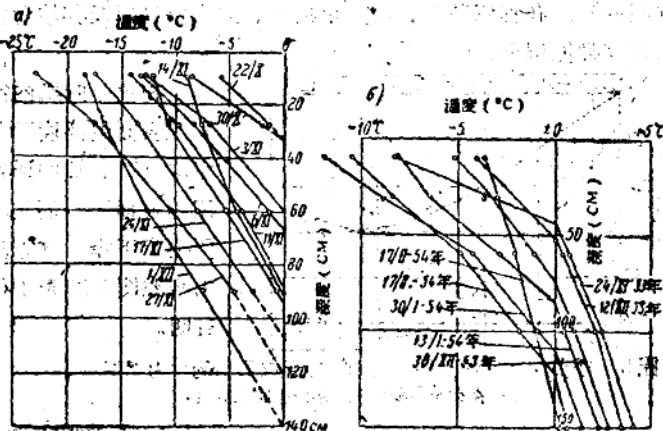


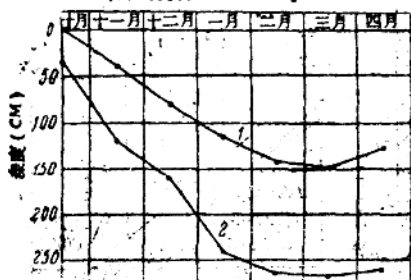
圖4 上层土在其冻结过程中温度的分布

- a 在伊加尔卡冰冻科学研究所场地上进行的试验结果 (1952年)
- b 在契列波茨冶金工厂场地上进行的试验结果 (1953—1954年)

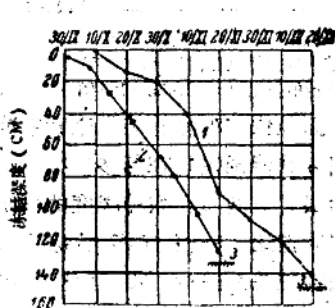
这就有可能根据对土中 0° 等温线位移观测的结果来确定冻结界限的下降特性。比较图5及图6就能确定：在与多年冻土层连成一片的活动层（相连的活动层）范围内，冻结深度的增加近似地与自冻结开始时算起的时间成正比。在没有多年冻土层时，土冻结深度随时间的增加按抛物线关系进行。由于这个区别，在有连成一片的活动层情况时，不能根据遵循抛物线规律的公式 [3] 来决定冻结深度。所以就有必要确定在有连成一片的活动层时土冻结的过程，它应与观测结果相一致。

● 在多年冻土分佈条件下，每年最大融化与冻结的层称为活动层。

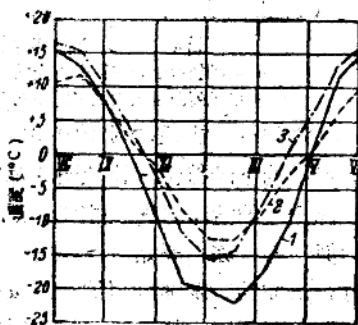
由于这个原因，我們注意到：在苏联的北方地区，当可融化的活动层比較薄时，活动层的全部冻结通常可以在开始冰冻的头一二个月，也即在上半个冬季內完成。如根据觀測資料，在伊加尔卡厚1.3~1.5公尺的活动层大約在兩個月的时期內全部冻结（图6）。在雅庫茨克、諾里尔斯克、迪克遜島以及其他北方地区也有类似現象。



■ 5 季节冻结条件下外表面 0° 等温线入土的平均深度
1—在列宁格勒；2—在伊尔库茨克(14)



■ 6 按 C·C·符亞洛夫(Валов)
資料，在建成一片的活動層的條件下在伊加爾卡冰凍科學研究站
場地上外表土壤凍結的過程
1—在1951年；2—在1952年；
3—多年凍土層的上限



■ 7 深度 0.4 公尺处土壤的
平均溫度
1—在雅庫茨克(15)；2—在
斯科沃罗丁諾；3—在伊爾
庫茨克(14)

冻结的前数月中空气温度的月平均下降①

表 1

观 测 地 区	温度下降(度)			观 测 者
	第一个月	第二个月	第三个月	
伊加尔卡	12.1	13.2	6.7	列昂齐耶娃
诺里尔斯克	9.2	11.1	10.4	苏斯洛夫
阿纳乌尔	8.7	9.7	6.4	什维佐夫
外贝加尔彼得罗夫斯克	9.0	11.8	7.1	库尔德
鄂霍次克	11.4	8.3	0.8	"
黑龙江畔尼古拉耶夫斯克	10.0	10.1	3.3	"
雅库茨克	14.7	20.7	13.7	"
根据雅库蒂亚共和国的25个站	12.7	14.8	7.9	绍斯塔科维奇
根据鄂毕和叶尼塞北部的25个站	9.3	10.8	7.3	列昂齐耶娃*

① 根据多年观测结果编制

应注意，空气温度的月平均下降在个别情况下第二个月比第一个月为剧烈。但大多数情况，在冻结的头两个月中空气温度的下降通常与时间成正比。土表面的温度也相应地下降。因而，可以认为：

$$\theta = \beta t \quad (2)$$

式中 t ——从土表面发生负温度时算起的时间，以小时计；
 β ——比例系数。

这样，在多年冻土层分布区的中部和北部地区，当有连成一片的活动层时，可以将土的表面温度和冻结时间的关系当作直线。

现在让我们根据M·A·崔托维奇编制的冻土力学的基本原理[16]来研究温度下降时土中水相组成的变化。

3. A·涅尔谢索娃 (Нерсесова) 曾广泛地研究过当温度下降和升高时土中水相组成的变化。按她所获得的结果(图8)，

对亞粘土和亞砂土当一次近似时在負溫度 ($-2^{\circ} \sim -14^{\circ}$) 范圍內可以認為：土中未冻结的水的数量依直線規律变化。这个結論也為我們的試驗（見圖36）所証實。

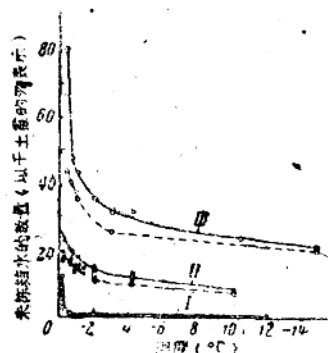


圖8 未冻结水的含量与溫度的关系

I—砂；II—复蓋亚粘土。
III—侏罗紀粘土。
虚綫—融化时；实綫—冻结时。

由于粘土在天然条件下沒有明確的冻结界限，而孔隙水及由下一层轉移来的水分的冻结約在10~20公分厚的范围内发生，故上面关于未冻结水数量变化直線关系的假定不会反映到問題的近似解的结果上来。

第三节 連成一片的活動层中冻结深度的預測

有关决定土的冻结問題应当在研究岩石圈、土壤圈、大气圈系統中的热交換原理上加以解决。П. Ф. 什維佐夫 (Швэцов) [4]只考慮热循環的主要几項，导出了土壤最上一层热平衡的方

程式，但他認為，要解求它暫時还不可能。

因而現在只限于該問題的近似解。

前面提到过，土表面的溫度在冻结的头兩个月近似地与時間成比例变化。

为了得出近似解，參照觀察的結果，我們作了以下的假定：

- 1) 整个冻结深度的土是均質的；
- 2) 沒有来自下面的热流；
- 3) 冻結線以下土的溫度等于始冻溫度；
- 4) 土已冻层的溫度为深度的一次函数；
- 5) 土中未冻结水的数量按直線关系随溫度下降而減少。

在这些假設下可以立出一个热傳导的微分方程式。当土表面溫度随时間而下降时，由土散发的热量应当与通过土單位表面的热量相等。考慮到公式(1)及图(4)，在時間 t 及 $t+dt$ 內土已冻层中的溫度分佈可以認為与图(9) 相符。

在这种情况下

$$d\omega = -\frac{1}{2} \theta dh + \frac{1}{2} h d\theta. \quad (3)$$

因为主要的热量是在接近于冻结界線的一帶中散发的，按已知的假定可以認為：在時間 dt 內通过土單位表面將有下述热量：

$$\frac{\lambda\theta}{h} = dt.$$

这个热量由三部份組成：

- 1) 土單位体积內（考慮到轉移到冻结地点的平均含水量）

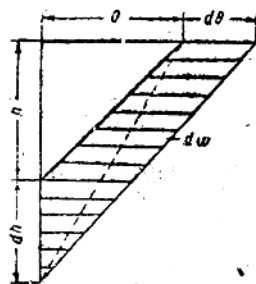


圖9 土溫度沿已凍層深度的分佈圖

散发出的固化潜热 $Q_d h$;

2) 当温度下降到低于冻结温度时束缚水固化的潜热 $Q_f d\omega$;

3) 具有热容量为 c_0 的土散发的热 $c_0 d\omega$ 。

引入关于土有效热容量 c 的概念是合理的,其中包括束缚水固化的潜热。

所以

$$c = c_0 + Q_f, \quad (4)$$

现在列出热传导方程式:

$$\frac{\lambda \theta}{h} dt = Q_d h + c d\omega. \quad (5)$$

代入公式(2)及(3)中的 θ 及 $d\omega$ 值, 得下一形式的微分方程式:

$$\frac{dh}{dt} + \frac{\beta c}{2Q + \beta ct} \times h = \frac{2\lambda \beta t}{2Q + \beta ct} \times \frac{1}{h}. \quad (6)$$

考虑起始及边界条件, 积分后得:

$$h = \frac{2t}{2Q + \beta ct} \sqrt{\frac{\beta^2 \lambda ct}{3} + \beta \lambda Q}, \quad (7)$$

应当注意, 通常

$$2Q \gg \beta ct \text{ 且 } \beta \lambda Q \gg \frac{\beta^2 \lambda ct}{3}.$$

所以在解决与确定冻结进程有关的实际问题时, 公式(7)可以写成这样:

$$h = t \sqrt{-\frac{\beta \lambda}{Q}}, \quad (8)$$

或者

$$h = at \quad (9)$$

式中

$$a = \sqrt{-\frac{\beta \lambda}{Q}} \quad (10)$$

这样，当连成一片的活动层在土表面溫度不断下降的条件下，可以近似地認為：冻结深度是時間的一次函数。

第四节 所得关系与觀察結果的比較

为了决定野外条件下的冻结深度，考慮到土在过渡到冻结状态时其电阻显著增大的特性。为此，应用了經我們改良了的由膠木板構成的电气冰冻計，在每一个深度上通过膠木板向外等齐地引出一对鍍鎳的銅端鉤接头（图10）。

这样的接头佈置与垂直的佈置不同，它能增大土在过渡到冻结状态时电阻变化的急剧性，因为在第二种情况下冻结界線区域內两个接头間的电流，仅部分地通过冻土，而另一部分通过未冻的土。当冻结界線逐步下降时，接头間的电阻改变得比較平稳。

测定成对接头間土的电阻是按图11所示的線路，用电流通过土而得。如此把开关接上0.5~1秒鐘，按伏特計讀数。有了这些讀数，应用公式

$$R_x = \frac{E}{v_x} R_v - (R_v + r), \quad (11)$$

即可求出外电路中土的歐姆电阻。

式中 E ——电源的电动势；

R_v ——伏特計的电阻，以歐姆計；

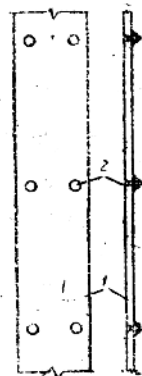


圖10 供电气冰冻計用的帶成对接头的膠木板
1—胶木； 2—接头

r ——电池組的內电阻，以歐姆計；

v_x ——當在線路上接上電阻為 R_x 的電氣冰凍計時，伏特計的讀數。

當在線路上接通兩個事先已知的電阻時，就可以確定 R 和 r 值。

如觀察所表明，當測定凍結深度時，更適合于用電氣冰凍計來測定土的電阻變化指數

$$K_Q = \frac{v_0}{v_x} \quad (12)$$

式中 v_0 ——當伏特計與電池組極點相連接時的讀數。

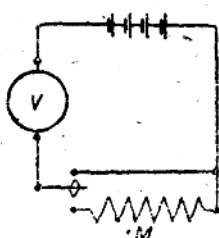


圖11 冰凍計 (M) 和伏特計 (V) 連接線路圖

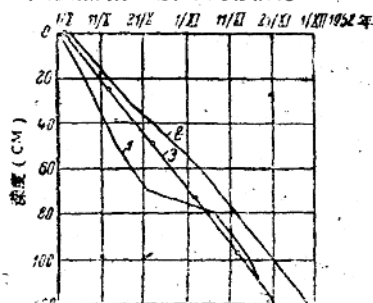


圖12 伊加爾卡城基礎 5 附近凍結深度的增加

1—按電氣冰凍計；2—按電熱偶；
3—按公式(9)

在未凍結狀態，當土的電阻不大時， $K_Q \approx 1$ 。當土凍結時 K_Q 显著增大而趨向無窮大。利用指數 K_Q ，可以消除因電池組電動勢隨時間變化而產生的錯誤。

按照所述的方法測定了實驗基礎（圖12）附近的土的凍結深度。在圖上也繪出了零度等溫線入土深度的觀察結果以及按公式（9）的計算結果。

研究图12，可以看出：理論計算結果与觀察資料符合。按熱電偶觀察結果的某些不符，也許可以这样解釋：即熱電偶是放在与电气冰冻計相对的基础的另一側。

第五节 土冻脹的觀察結果

不可能在这本簡短的書中敘述对土冻脹进行廣泛觀察的結果，讓我們根据这些觀察作某些主要的結論。

- 1) 在季节冻结层和未連成一片的活动层（冻结层不与多年冻土层連成一片）时，冻脹性土的体积在整个冻结进行期间增大。
- 2) 当冻脹性土在連成一片的活动层及沒有地下水水流的情况下，这一层可以分成兩個部份：上层——主动冻脹层和下层——非主动冻脹层。伊加爾卡冰冻科学研究站場地上基础5附近的，在80公分深处放置的冻脹計的位移对此作了証实。当低于上述深度时，土冻结时的此位移等于零，虽然活动层的深度为120公分（图13）。由此得出，活动层的下面部份沒有受到冻脹。
- 3) 在由冻脹性土組成的連成一片的活动层冻结时，发现水份由其下面部份向上面部份——主动冻脹部份轉移。这就使活动层的下面部份脱水，因此失去了在冻结时的隆脹能力（图14），这現象也同样为多次含水量測定結果所得資料証实。
- 4) 實驗基础附近土的冻脹在冻结进程初始時間內伴随着已冻层的急剧的撓曲。以后，除了土表面撓曲慢慢增長之外，发现正在冻脹的土沿着不动基础的侧面明显的滑过。契列波維茨冶金工厂場地實驗基础1附近土表面的变形可以作为明显的例子（图15）。这种变形在所有的實驗基础处都可看出。

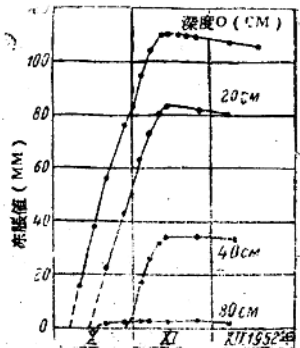


圖13 放在不同深度上的凍
眼計的垂直位移

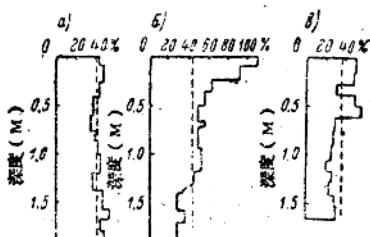


圖14 伊加爾卡冰原科學研究站場
地上土中含水量在凍結前(虛線)
及凍結後(實線)的分佈

a — 基礎 1 附近的粉質亞粘土
b — 基礎 3 附近的粉質亞砂土
c — 基礎 5 附近的粉質亞粘土

5) 研究土在凍結前后水份的分佈表明，在亞粘土及亞砂土中水份既向上也向鋼筋混凝土實驗基礎方向轉移。在木基礎時沒有發現水份的水平轉移。

6) 如果水平方向的滲透不大，那末與水份向凍結前線轉移有關的土的凍脹就導致地下水位的下降(圖16)。

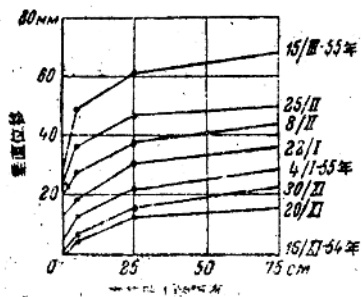


圖15 契列波維茨城一個實驗
基礎附近土壤表面的位移

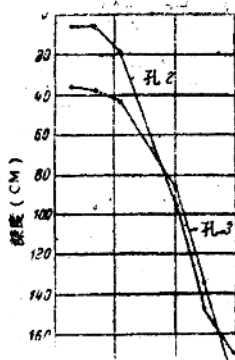


圖16 伊加爾卡城土凍結時地下
水位位置的變化